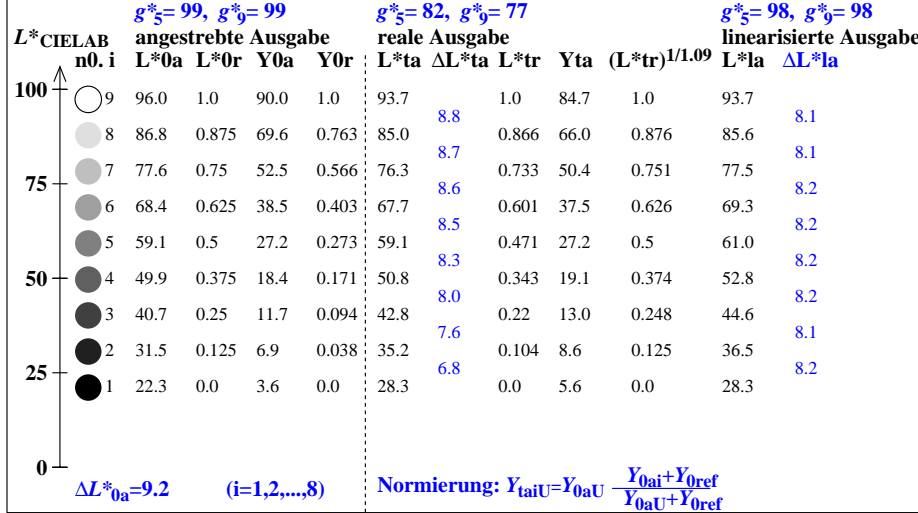


9stufige Grauskalierung zwischen $L^*_{0aN}=22.3$ und $L^*_{0aW}=95.9$, $Y_{0ref}=2.5$, Normierung Grau U

$L^*_{0aN}=22.3$, $L^*_{0aU}=59.1$, $L^*_{0aW}=96.0$, $Y_{0aN}=3.6$, $Y_{0aU}=27.2$, $Y_{0aW}=90.0$, $C_{0aY}=Y_{0aW}:Y_{0aN}=25.0$
 $L^*_{taN}=28.3$, $L^*_{taU}=59.1$, $L^*_{taW}=93.7$, $Y_{taN}=5.6$, $Y_{taU}=27.2$, $Y_{taW}=84.7$, $C_{taY}=Y_{taW}:Y_{taN}=15.2$

Regularitätsindex nach ISO/IEC 15775:2022, Anhang G für 5 und 9 Stufen

$g^* = 100 [\Delta L^*_{min}] / [\Delta L^*_{max}]$, $L^*_{CIELAB} = 116 [Y/Y_n]^{1/3} - 16$ mit $Y >= 0,882$, $Y_n=100$



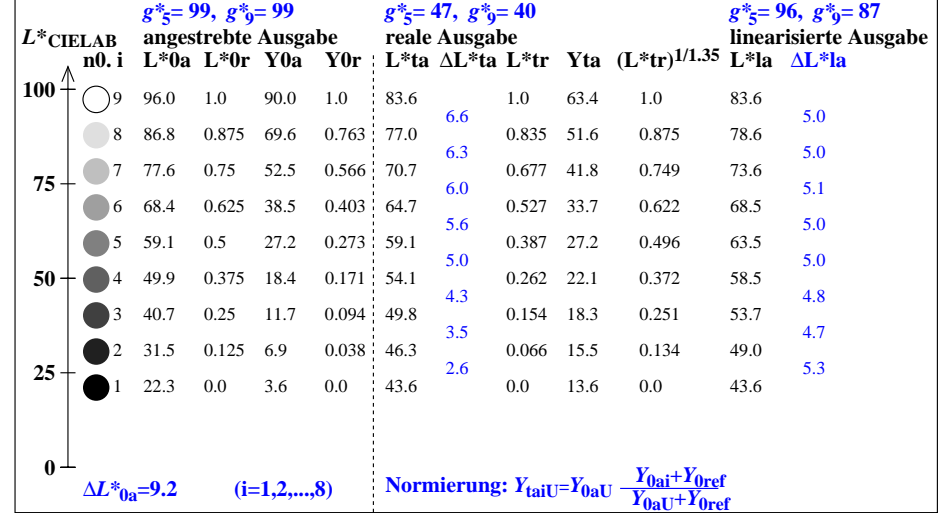
egq10-3n

9stufige Grauskalierung zwischen $L^*_{0aN}=22.3$ und $L^*_{0aW}=95.9$, $Y_{0ref}=20.0$, Normierung Grau U

$L^*_{0aN}=22.3$, $L^*_{0aU}=59.1$, $L^*_{0aW}=96.0$, $Y_{0aN}=3.6$, $Y_{0aU}=27.2$, $Y_{0aW}=90.0$, $C_{0aY}=Y_{0aW}:Y_{0aN}=25.0$
 $L^*_{taN}=43.6$, $L^*_{taU}=59.1$, $L^*_{taW}=83.6$, $Y_{taN}=13.6$, $Y_{taU}=27.2$, $Y_{taW}=63.4$, $C_{taY}=Y_{taW}:Y_{taN}=4.7$

Regularitätsindex nach ISO/IEC 15775:2022, Anhang G für 5 und 9 Stufen

$g^* = 100 [\Delta L^*_{min}] / [\Delta L^*_{max}]$, $L^*_{CIELAB} = 116 [Y/Y_n]^{1/3} - 16$ mit $Y >= 0,882$, $Y_n=100$



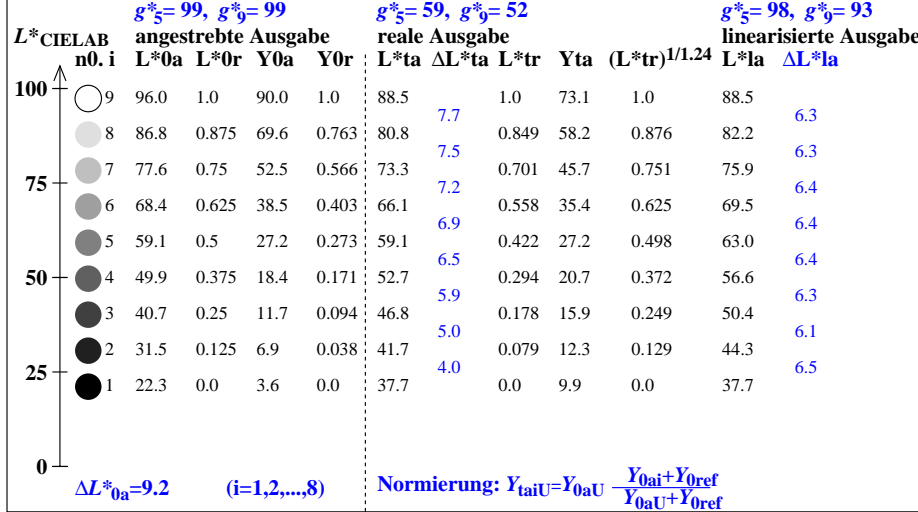
egq11-3n

9stufige Grauskalierung zwischen $L^*_{0aN}=22.3$ und $L^*_{0aW}=95.9$, $Y_{0ref}=10.0$, Normierung Grau U

$L^*_{0aN}=22.3$, $L^*_{0aU}=59.1$, $L^*_{0aW}=96.0$, $Y_{0aN}=3.6$, $Y_{0aU}=27.2$, $Y_{0aW}=90.0$, $C_{0aY}=Y_{0aW}:Y_{0aN}=25.0$
 $L^*_{taN}=37.7$, $L^*_{taU}=59.1$, $L^*_{taW}=88.5$, $Y_{taN}=9.9$, $Y_{taU}=27.2$, $Y_{taW}=73.1$, $C_{taY}=Y_{taW}:Y_{taN}=7.3$

Regularitätsindex nach ISO/IEC 15775:2022, Anhang G für 5 und 9 Stufen

$g^* = 100 [\Delta L^*_{min}] / [\Delta L^*_{max}]$, $L^*_{CIELAB} = 116 [Y/Y_n]^{1/3} - 16$ mit $Y >= 0,882$, $Y_n=100$



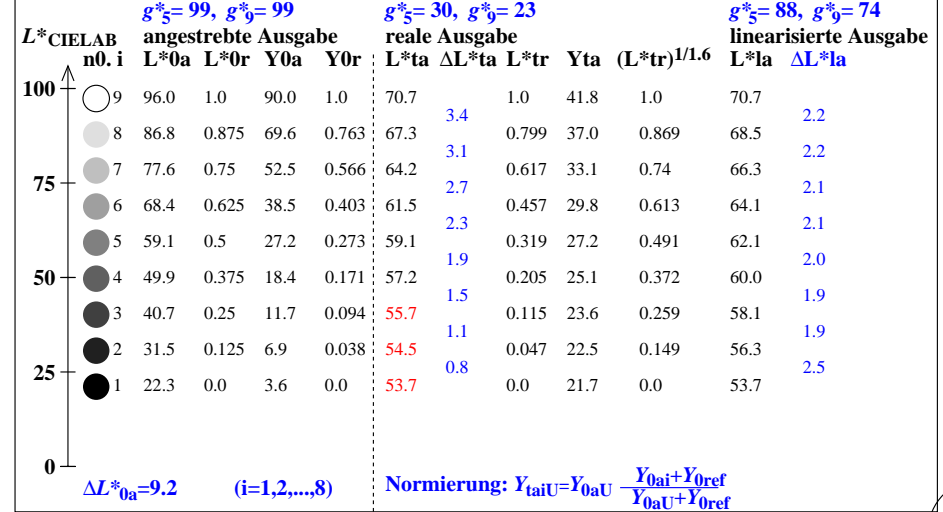
egq10-7n

9stufige Grauskalierung zwischen $L^*_{0aN}=22.3$ und $L^*_{0aW}=95.9$, $Y_{0ref}=90.0$, Normierung Grau U

$L^*_{0aN}=22.3$, $L^*_{0aU}=59.1$, $L^*_{0aW}=96.0$, $Y_{0aN}=3.6$, $Y_{0aU}=27.2$, $Y_{0aW}=90.0$, $C_{0aY}=Y_{0aW}:Y_{0aN}=25.0$
 $L^*_{taN}=53.7$, $L^*_{taU}=59.1$, $L^*_{taW}=70.7$, $Y_{taN}=21.7$, $Y_{taU}=27.2$, $Y_{taW}=41.8$, $C_{taY}=Y_{taW}:Y_{taN}=1.9$

Regularitätsindex nach ISO/IEC 15775:2022, Anhang G für 5 und 9 Stufen

$g^* = 100 [\Delta L^*_{min}] / [\Delta L^*_{max}]$, $L^*_{CIELAB} = 116 [Y/Y_n]^{1/3} - 16$ mit $Y >= 0,882$, $Y_n=100$



egq11-7n

Siehe ähnliche Dateien der ganzen Serie: http://farbe.li.tu-berlin.de/egqs.htm
Technische Information: http://farbe.li.tu-berlin.de oder http://color.li.tu-berlin.de

TUB-Registrierung: 20230701-egq1/egq110np.pdf / .ps
Anwendung für Beurteilung und Messung von Display- oder Druck-Ausgabe
TUB-Material: Code=rh4ta